

Автор искренне благодарит С. С. Кутателадзе за предложенную тему и за ценные советы при выполнении работы.

Поступила 23 III 1963

ЛИТЕРАТУРА

- Кутателадзе С. С. Гидродинамическая теория изменения режима кипения жидкости при свободной конвекции. Изв. АН СССР, ОТН, 1951, № 4.
- Zuberg N. Stability of boiling heat transfer. Trans. ASME, 1958, vol. 80.
- Wollis G. B. Some hydrodynamic aspects of two-phase flow and boiling. International developments in heat transfer, part II, 1961.

ТЕМПЕРАТУРНОЕ СОСТОЯНИЕ ТОНКОЙ СФЕРИЧЕСКОЙ ОБОЛОЧКИ

В. С. Зарубин (Москва)

Рассматривается тонкая непрозрачная сферическая оболочка, среда в полости которой диатермична. Излучение внутренней поверхности принимается серым, диффузным. Извне оболочка поглощает переменный по поверхности удельный тепловой поток $q(\vartheta, \psi)$, причем ϑ и ψ — угловые координаты точки (фиг. 1) сферы ($0 \leq \vartheta \leq \pi$, $0 \leq \psi \leq 2\pi$). Температура по толщине оболочки считается неизменной, а передачей тепла теплопроводностью вдоль оболочки пренебрегается.

К подобной расчетной схеме может быть сведена задача по определению установившегося температурного состояния тонкой непрозрачной оболочки искусственного спутника Земли, используемого в качестве пассивного ретранслятора радиосигналов, метеорологического шара — зонда в разреженных слоях атмосферы и т. п.

Для единичной площадки сферы с координатами ϑ, ψ запишем выражение баланса удельных тепловых потоков на внутренней поверхности

$$q^*(\vartheta, \psi) = \varepsilon' q_0(\vartheta, \psi) + R' q^o \quad (1)$$

$$(R' = 1 - \varepsilon', \quad q_0(\vartheta, \psi) = \sigma_0 T^4(\vartheta, \psi))$$

Здесь ε' — степень черноты внутренней поверхности оболочки, $q^*(\vartheta, \psi)$ и q^o — эффективный и падающий удельные лучистые тепловые потоки, σ_0 — коэффициент излучения абсолютно черного тела, $T(\vartheta, \psi)$ — температура оболочки, в общем случае переменная по ее поверхности.

Особенность геометрии сферы состоит в том, что q^o при принятых выше предположениях не зависит от координат и постоянно для любой точки внутренней поверхности. Чтобы в этом убедиться, рассмотрим элементарную площадку $dS = r^2 \sin \alpha d\alpha d\beta$. Здесь r — радиус сферы, α и β — углы, отсчет которых аналогичен углам ϑ и ψ . Эта площадка посыпает на единичную площадку с координатами ϑ и ψ лучистый поток

$$dq^o(\alpha, \beta) = q^*(\alpha, \beta) d\varphi$$

где $d\varphi$ — элементарный угловой коэффициент [1] двух элементарных площадок с координатами α, β и ϑ, ψ . Проведя через точки A и B с этими координатами дугу большого круга (фиг. 2), получим, что

$$d\varphi = \frac{\cos^2 \gamma}{\pi (AB)^2} dS = \frac{\sin \alpha}{4\pi} d\alpha d\beta$$

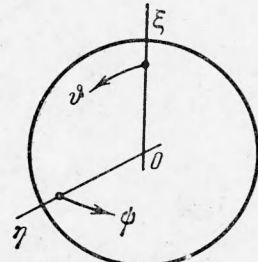
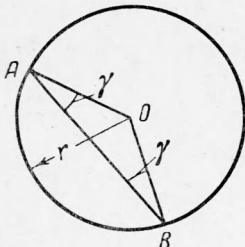
Вся внутренняя поверхность сферы посыпает на единичную площадку с координатами ϑ, ψ удельный поток

$$q^o = \int_S q^*(\alpha, \beta) d\varphi = \int_0^\pi \int_0^{2\pi} q^*(\alpha, \beta) \frac{\sin \alpha}{4\pi} d\alpha d\beta = \text{const} \quad (2)$$

который не зависит от координат площадки.

Для дальнейшего решения задачи выражим $q^*(\vartheta, \psi)$ через результирующий удельный тепловой поток $q^+(\vartheta, \psi)$; получим [2]

$$q^*(\vartheta, \psi) = q_0(\vartheta, \psi) - \frac{R'}{\varepsilon} q^+(\vartheta, \psi) \quad (3)$$



Фиг. 1

Из баланса тепловых потоков на наружной поверхности сферы имеем

$$q^+(\vartheta, \psi) = q(\vartheta, \psi) - \varepsilon'' q_0(\vartheta, \psi) \quad (4)$$

Здесь ε'' — степень черноты наружной поверхности сферы. Из (1) — (4) получим

$$\left(1 + \frac{\varepsilon''}{\varepsilon'}\right) q^*(\vartheta, \psi) = q(\vartheta, \psi) + \left(1 + R' \frac{\varepsilon''}{\varepsilon'}\right) \int_0^{\pi} \int_0^{2\pi} q^*(\alpha, \beta) \frac{\sin \alpha}{4\pi} d\alpha d\beta \quad (5)$$

Это уравнение легко решается относительно $q^*(\vartheta, \psi)$, если задано распределение по поверхности сферы поглощаемого извне потока $q(\vartheta, \psi)$. В общем случае имеем

$$\left(1 + \frac{\varepsilon''}{\varepsilon'}\right) q^*(\vartheta, \psi) = q(\vartheta, \psi) + \left(1 + R' \frac{\varepsilon''}{\varepsilon'}\right) \int_0^{\pi} \int_0^{2\pi} q(\alpha, \beta) \frac{\sin \alpha}{4\pi \varepsilon''} d\alpha d\beta \quad (6)$$

Далее из соотношений (3), (4) и (6) находится выражение для $q_0(\vartheta, \psi)$, а по нему вычисляется распределение температуры по поверхности

$$T(\vartheta, \psi) = \left[\frac{q_0(\vartheta, \psi)}{\sigma_0} \right]^{1/4} = [\sigma_0 (\varepsilon' + \varepsilon'')]^{1/4} \left[q(\vartheta, \psi) + \frac{\varepsilon' / \varepsilon''}{4\pi} \int_0^{\pi} \int_0^{2\pi} q(\alpha, \beta) \sin \alpha d\alpha d\beta \right]^{1/4} \quad (7)$$

Для примера найдем температурное состояние сферы под действием лишь солнечного излучения. Пусть ось $O\eta$ (фиг. 1) направлена на Солнце, а оптические свойства наружной поверхности соответствуют серому телу, причем $\varepsilon' = \varepsilon''$. Тогда

$$q(\vartheta, \psi) = \varepsilon'' q_s \sin \vartheta \cos \psi \quad \text{при } \cos \psi \geqslant 0, \quad q(\vartheta, \psi) = 0 \quad \text{при } \cos \psi \leqslant 0$$

Здесь через q_s обозначена солнечная постоянная. Ее значение примем таким, что $(q_s/\sigma_0)^{1/4} = 390^\circ \text{K}$.

Из формулы (7) получим, что распределение температуры дается выражением

$$T(\vartheta, \psi) = 390^\circ \text{K} \left(\frac{\sin \vartheta \cos \psi}{2} + \frac{1}{8} \right)^{1/4} \quad \text{при } \cos \psi \geqslant 0 \quad (8)$$

Максимальная температура достигается при $\vartheta = \pi/2, \psi = 0$; она равна $T_{\max} = 347^\circ \text{K}$. Вся не освещенная Солнцем часть сферы ($\cos \psi \leqslant 0$) имеет температуру $T_{\min} = 232^\circ \text{K}$.

До сих пор сферическая оболочка считалась неподвижной относительно внешних источников излучения. Теперь рассмотрим влияние на ее температурное состояние вращения с постоянной угловой скоростью ω относительно произвольной оси, проходящей через центр сферы. Выбором расположения координатных осей (фиг. 1) совместим ось вращения с осью $O\xi$. Ось отсчета угла ψ примем неподвижной в пространстве. Поэтому для любой точки вращающейся поверхности сферы будет справедливо соотношение $\omega = d\psi/d\tau$, где τ — время.

Тогда вместо уравнения (4) можно записать новое выражение для баланса тепловых потоков с учетом вращения оболочки.

$$q^+(\vartheta, \psi) = q(\vartheta, \psi) - \varepsilon'' q_0(\vartheta, \psi) - c\rho h\omega \frac{dT(\vartheta, \psi)}{d\psi} \quad (9)$$

где c , ρ и h — удельная теплоемкость и плотность материала оболочки и ее толщина.

Считаем, что оболочка вращается достаточно долго, так что устанавливается квазистационарное температурное состояние поверхности. Следовательно,

$$\int_0^{\pi} \int_0^{2\pi} \frac{dT(\alpha, \beta)}{d\beta} \sin \alpha d\alpha d\beta \equiv 0$$

Из соотношений (1) — (3) и (9) получим

$$\frac{dT_\omega(\vartheta, \psi)}{d\psi} = k [T^4(\vartheta, \psi) - T_\omega^4(\vartheta, \psi)] \quad \left(k = \frac{\varepsilon' + \varepsilon''}{c\rho h\omega} \sigma_0 \right) \quad (10)$$

Здесь индекс ω при $T(\vartheta, \psi)$ отличает температуру вращающейся оболочки от температуры невращающейся оболочки при прочих равных условиях. Краевое условие для уравнения (10) вытекает из квазистационарности температурного состояния

$$T_\omega(\vartheta, \psi) = T_\omega(\vartheta, \psi + 2\pi) = \dots \quad (11)$$

т. е. $T_\omega(\vartheta, \psi)$ будет периодической функцией ψ с периодом 2π .

Уравнение (10) в общем случае не имеет точного решения, но может быть решено приближенно. Эффективным является графический путь решения [3]. Траектория произвольной точки вращающейся сферы делится на N равных дуг, на каждую из которых опирается центральный угол $\Delta\phi = 2\pi/N$.

Заменяя уравнение (10) конечно-разностным с производной по углу ϕ , взятой один раз вперед, а другой раз — назад, получим

$$T_{\omega, n+1} - T_{\omega, n} = \Delta\psi F_n, \quad T_{\omega, n+1} - T_{\omega, n} = \Delta\psi F_{n+1}$$

где через F обозначена правая часть уравнения (10), а индексы n и $n+1$ указывают угловое положение точки вращающейся сферы $\psi_n = n\Delta\phi$ и $\psi_{n+1} = (n+1)\Delta\phi$.

Складывая предыдущие соотношения, найдем

$$F_{n+1} = -F_n + \frac{2}{\Delta\phi}(T_{\omega, n+1} - T_{\omega, n}) \quad (12)$$

Если задаться значением $T_{\omega, n}$, то $T_{\omega, n+1}$ можно найти как абсциссу точки C_{n+1} пересечения прямой, определяемой уравнением (12) в координатах $T_{\omega, n+1}$, F_{n+1} , с кривой, определяемой зависимостью

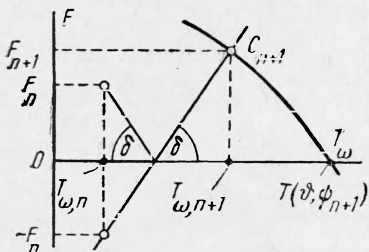
$$F_{n+1} = k [T^4(\vartheta, \psi_{n+1}) - T_{\omega, n+1}^4]$$

Это построение показано на фиг. 3, где

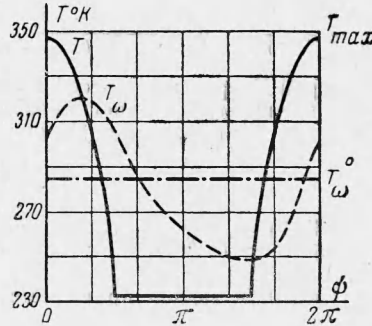
$$\delta = \arctg \frac{2}{\Delta\phi} \frac{m_1}{m_2} = \arctg \frac{N}{\pi} \frac{m_1}{m_2}$$

Здесь m_1 и m_2 — масштабы графика по осям T_{ω} и F в град / мм.

Для получения квазистационарного решения необходимо задаться ожидаемой величиной температуры при любом значении $\psi_n = n\Delta\phi$ и последовательно повторять указанное на фиг. 3 графическое построение до тех пор, пока с желаемой точностью не будет выполнено условие (11). Процесс последовательных приближений сходится при любых $\Delta\phi$, причем погрешность расчета [4] пропорциональна $(\Delta\phi)^3$.



Фиг. 3



Фиг. 4

На фиг. 4 пунктиром показаны результаты графического расчета распределения температуры по дуге большого круга ($\vartheta = 1/2\pi$) вращающейся оболочки для условий рассмотренного выше примера, причем $N = 12$ и $q_s k/\sigma_0 = 176$ град. Сплошная линия соответствует распределению температуры по той же дуге для неподвижной сферы (формула (8)). С увеличением угловой скорости вращения ($k \rightarrow 0$) распределение температуры по поверхности сферы не зависит от угла ϕ и определяется выражением

$$T_{\omega}^{\circ}(\vartheta) = \left[\frac{1}{2\pi} \int_0^{2\pi} T^4(\vartheta, \psi) d\psi \right]^{1/4} = 390^{\circ}\text{K} \left(\frac{\sin \vartheta}{2\pi} + \frac{1}{8} \right)^{1/4}$$

В частности, $T_{\omega}^{\circ}(1/2\pi) = 285^{\circ}\text{K}$, что соответствует штрих-пунктирной линии на фиг. 4.

Поступила 13 III 1963

ЛИТЕРАТУРА

1. Блох А. Г. Основы теплообмена излучением. Госэнергоиздат, 1962.
2. Шорин С. Н. Теплопередача. Госстройиздат, 1952.
3. Бережерон Л. От гидравлического удара в трубах до разряда в электрической цепи. Машгиз, 1962.
4. Березин И. С., Жидков Н. П. Методы вычислений. Физматгиз, т. 2, 1962.